

TI911-1, Fig. B4Wd: 16 equidistante passi $W-C_d; W-M_d; W-Y_d; W-N$; $rgb/cmy0 \rightarrow rgb_d$ setrgbcolor

+-.: Q	lmno	C	o	o	o	o	pqrs	o	o	o	o	uvw	o	o	o	o
xyz;	hijk	o	o	o	o	o	lmno	o	o	o	o	pqrs	o	o	o	o
tuvw	defg	o	o	o	o	o	hijk	o	o	o	o	lmno	o	o	o	o
pqrs	!abc	o	o	o	o	o	+-.:	o	o	o	o	defg	o	o	o	o
lmno	+-.	o	o	o	o	o	xyz;	o	o	o	o	tuvw	o	o	o	o
hijk	xyz;	o	o	o	o	o	defg	o	o	o	o	!abc	o	o	o	o
defg	tuvw	o	o	o	o	o	!abc	o	o	o	o	6	N	$C_d M_d Y_d Z$		
!abc	pqrs	o	o	o	o	o						8	N	$C_d M_d Y_d Z$		
10																

TI911-1, Fig. B4Wd: 16 equidistante passi $W-C_d; W-M_d; W-Y_d; W-N$; $rgb/cmy0 \rightarrow rgb_d$ setrgbcolor

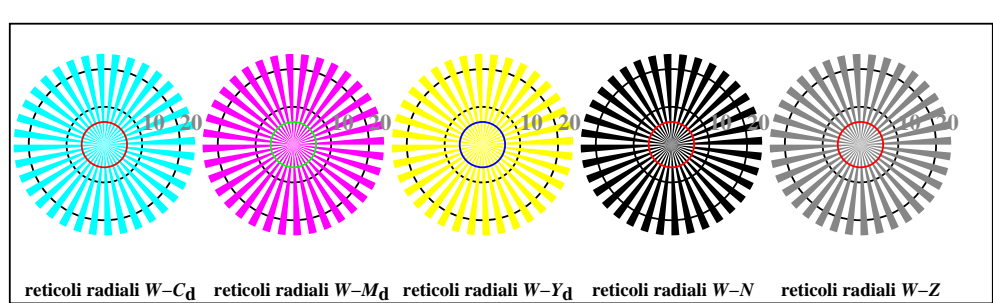
TI911-3, Fig. B5Wd: codice i Landolt anelli N ; C_d ; M_d ; Y_d ; Z ; PS operator $rgb \rightarrow rgb_d$ setrgbcolor

anelli di Landolt $W-C_d$	Code	anelli di Landolt $W-M_d$	Code
0-1		0-1	
7-8		7-8	
E-F		E-F	
2-0		2-0	
8-6		8-6	
F-D		F-D	

TI911-5, Fig. B6Wd: anelli di Landolt $W-C_d$; $W-M_d$; PS operator $rgb \rightarrow rgb_d$ setrgbcolor

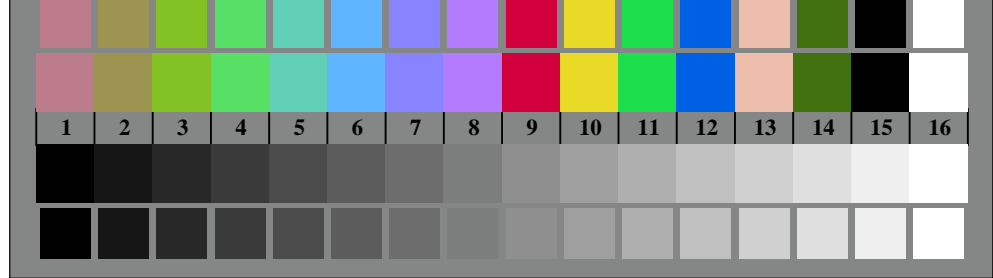
anelli di Landolt $W-Y_d$	Code	anelli di Landolt $W-N$	Code
0-1		0-1	
7-8		7-8	
E-F		E-F	
2-0		2-0	
8-6		8-6	
F-D		F-D	

TI911-7, Fig. B7Wd: anelli di Landolt $W-Y_d$; $W-N$; PS operator $rgb \rightarrow rgb_d$ setrgbcolor

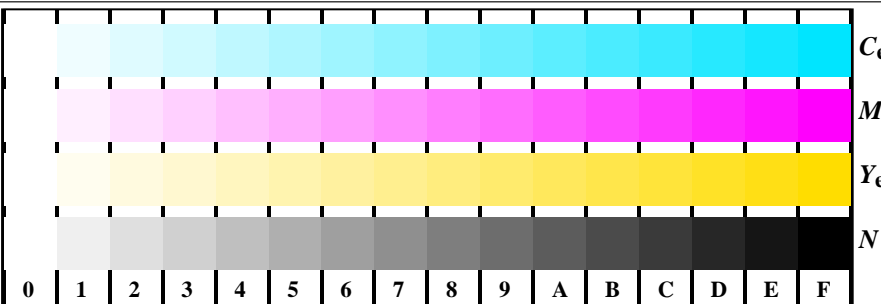


reticolli radiali $W-C_d$ reticolli radiali $W-M_d$ reticolli radiali $W-Y_d$ reticolli radiali $W-N$ reticolli radiali $W-Z$

TI910-5, Fig. B2Wd: reticolli radiali $W-C_d$; $W-M_d$; $W-Y_d$; $W-N$; PS operator $rgb \rightarrow rgb_d$ setrgbcolor



TI910-7, Fig. B3Wd: 14 prova colori CIE i 2 + 16 grigio passi (sf); $rgb/cmy0 \rightarrow rgb_d$ setrgbcolor



TI911-1, Fig. B4We: 16 equidistante passi $W-C_e; W-M_e; W-Y_e; W-N$; $rgb/cmy0 \rightarrow rgb_e$ setrgbcolor

+-.: Q	lmno	C	o	C	o	o	pqrs	o	o	o	o	uvw	o	o	o	o	
xyz;	hijk	C	o	C	o	o	lmno	o	o	o	o	pqrs	o	o	o	o	
tuvw	defg	C	o	C	o	o	hijk	C	o	o	o	lmno	o	o	o	o	
pqrs	!abc	C	o	C	o	o	+-.:	o	o	o	o	defg	o	o	o	o	
lmno	+-.	C	o	C	o	o	xyz;	o	o	o	o	tuvw	o	o	o	o	
hijk	xyz;	C	o	C	o	o	defg	o	o	o	o	!abc	o	o	o	o	
defg	tuvw	C	o	C	o	o	!abc	o	o	o	o	6	N	C_e	M_e	Y_e	Z
!abc	pqrs	C	o	C	o	o	8	N	C_e	M_e	Y_e	Z					
10	N	C_e	M_e	Y_e	Z												

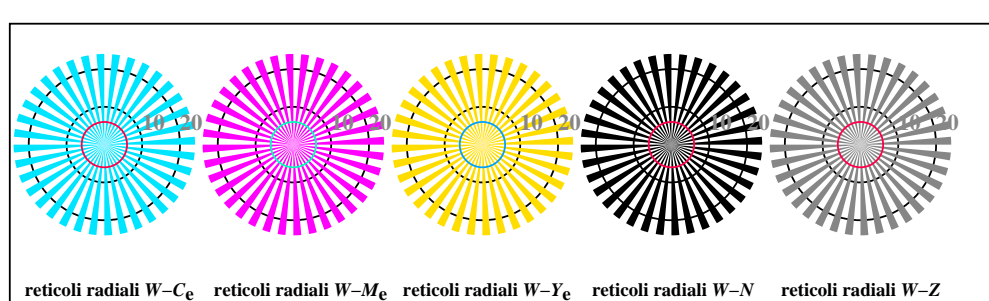
TI911-3, Fig. B5We: codice i Landolt anelli N ; C_e ; M_e ; Y_e ; Z ; PS operator $rgb \rightarrow rgb_e$ setrgbcolor

anelli di Landolt $W-C_e$		Code	anelli di Landolt $W-M_e$		Code
0-1			0-1		
7-8			7-8		
E-F			E-F		
2-0			2-0		
8-6			8-6		
F-D			F-D		

TI911-5, Fig. B6We: anelli di Landolt $W-C_e$; $W-M_e$; PS operator $rgb \rightarrow rgb_e$ setrgbcolor

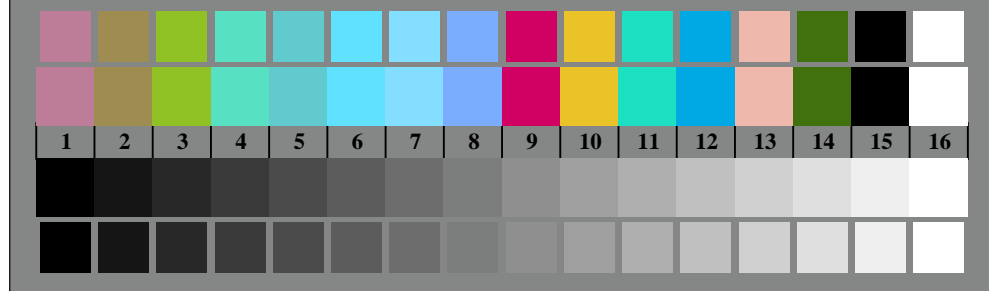
anelli di Landolt $W-Y_e$		Code	anelli di Landolt $W-N$		Code
0-1			0-1		
7-8			7-8		
E-F			E-F		
2-0			2-0		
8-6			8-6		
F-D			F-D		

TI911-7, Fig. B7We: anelli di Landolt $W-Y_e$; $W-N$; PS operator $rgb \rightarrow rgb_e$ setrgbcolor

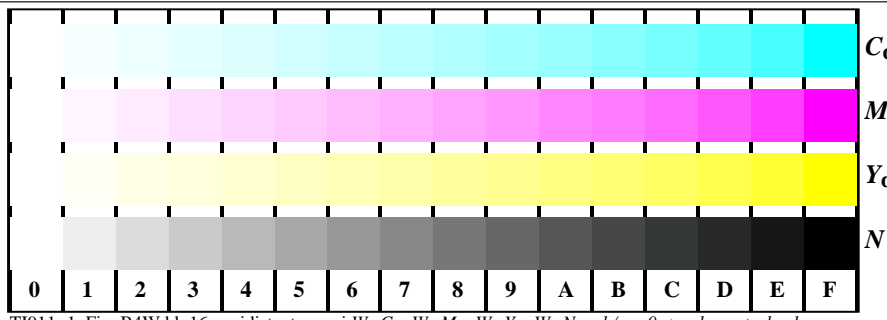


reticolli radiali $W-C_e$ reticolli radiali $W-M_e$ reticolli radiali $W-Y_e$ reticolli radiali $W-N$ reticolli radiali $W-Z$

TI910-5, Fig. B2We: reticolli radiali $W-C_e$; $W-M_e$; $W-Y_e$; $W-N$; PS operator $rgb \rightarrow rgb_e$ setrgbcolor



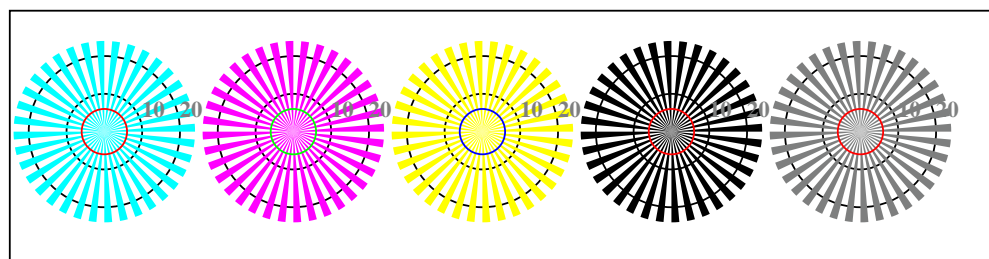
TI910-7, Fig. B3We: 14 prova colori CIE i 2 + 16 grigio passi (sf); $rgb/cmy0 \rightarrow rgb_e$ setrgbcolor



TI911-1, Fig. B4Wdd: 16 equidistante passi $W-C_d$; $W-M_d$; $W-Y_d$; $W-N$; $rgb/cmy0 \rightarrow rgb_{dd}$ setrgbcolor

$+ \cdot \cdot$	Q	O	C	M_d	Y_d	Z	lmno	O	C	M_d	Y_d	Z	pqr	O	C	M_d	Y_d	Z	$tuvw$	O	C	M_d	Y_d	Z
$xyz;$	O	C	M_d	Y_d	Z		$hijk$	O	C	M_d	Y_d	Z	$lmno$	O	C	M_d	Y_d	Z	$lmno$	O	C	M_d	Y_d	Z
$tuvw$	O	C	M_d	Y_d	Z		$defg$	O	C	M_d	Y_d	Z	$hijk$	O	C	M_d	Y_d	Z	$hijk$	O	C	M_d	Y_d	Z
$pqrs$	O	C	M_d	Y_d	Z		$!abc$	O	C	M_d	Y_d	Z	$+ \cdot \cdot$	O	C	M_d	Y_d	Z	$+ \cdot \cdot$	O	C	M_d	Y_d	Z
$lmno$	O	C	M_d	Y_d	Z		$+ \cdot \cdot$	O	C	M_d	Y_d	Z	$xyz;$	O	C	M_d	Y_d	Z	$xyz;$	O	C	M_d	Y_d	Z
$hijk$	C	O	C	M_d	Y_d		$tuvw$	O	C	M_d	Y_d	Z	$defg$	O	C	M_d	Y_d	Z	$defg$	O	C	M_d	Y_d	Z
$defg$	O	C	M_d	Y_d	Z		$pqrs$	O	C	M_d	Y_d	Z	$!abc$	O	C	M_d	Y_d	Z	$!abc$	O	C	M_d	Y_d	Z
$!abc$	O	C	M_d	Y_d	Z		8	N	C_d	M_d	Y_d	Z	6	N	C_d	M_d	Y_d	Z	$tuvw$	O	C	M_d	Y_d	Z
10	N	C_d	M_d	Y_d	Z														$xyz;$	O	C	M_d	Y_d	Z

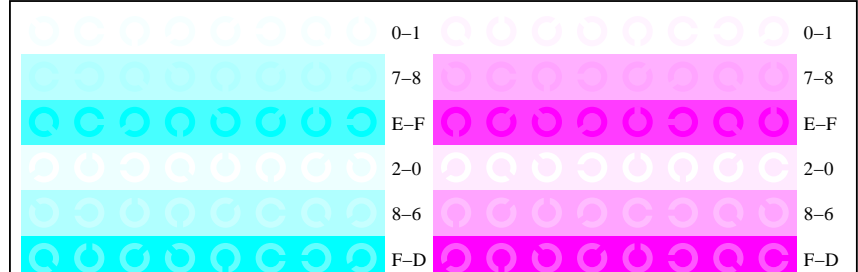
TI911-3, Fig. B5Wdd: codice i Landolt anelli N ; Cd ; Md ; Yd ; Z ; PS operator $rgb \rightarrow rgb_{dd}$ setrgbcolor



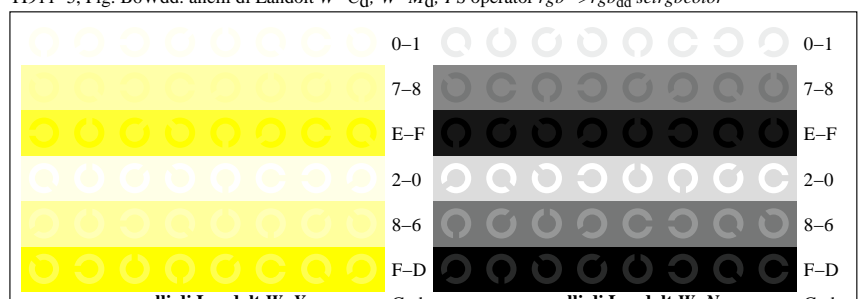
reticolis radialis $W-C_d$ **reticolis radialis $W-M_d$** **reticolis radialis $W-Y_d$** **reticolis radialis $W-N$** **reticolis radialis $W-Z$**



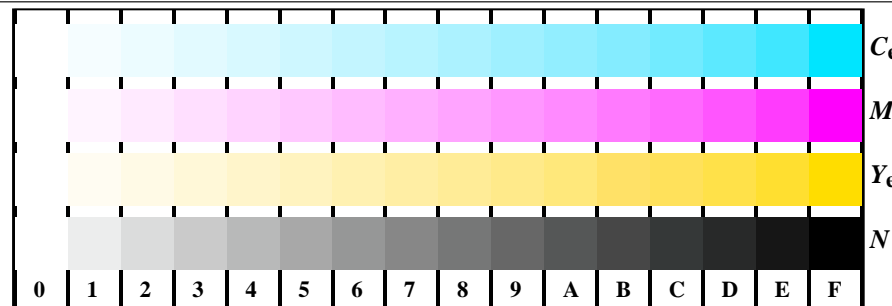
TI910-7 Fig. B3Wdd: 14 prova colori CIE i 2 + 16 grigio passi (sf); reb/cmy0->reb44 setrebcolor



anelli di Landolt $W-C_d$ Code anelli di Landolt $W-M$



TI911-7 Fig. B7Wdd: anelli di Landolt W-Yd; W-N; PS operator $rgh \rightarrow rgh_{dd}$ setrgbcolor



0	1	2	3	4	5	6	7	8	9	A	B	C	D	E	F
+-.: Q	lmno	C	o	C	o	C	o	C	o	pqrs	o	o	o	o	Ce
xyz;	hijk	o	o	o	o	o	o	o	o	lmno	Q	o	o	o	Me
tuvw	defg	o	o	o	o	o	o	o	o	hijk	o	o	o	o	Ye
pqrs	!abc	o	o	o	o	o	o	o	o	+-.:	o	o	o	o	N
lmno	+-.:	o	o	o	o	o	o	o	o	xyz;	o	o	o	o	
hijk	xyz;	o	o	o	o	o	o	o	o	tuvw	o	o	o	o	
defg	defg	o	o	o	o	o	o	o	o	!abc	o	o	o	o	
!abc	!abc	o	o	o	o	o	o	o	o	6	N	C _e M _e Y _e Z			
10	N	C _e M _e Y _e Z								8	N	C _e M _e Y _e Z			

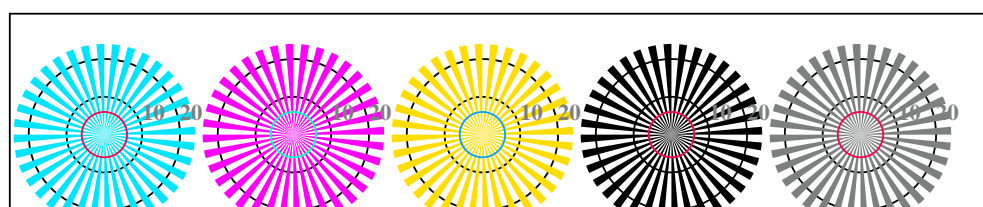
TI911-3, Fig. B5Wde: codice i Landolt anelli $N; C_e; M_e; Y_e; Z; PS$ operator $rgb \rightarrow rgb_{de} setrgbcolor$

0-1	anelli di Landolt $W-C_e$	Code	0-1	anelli di Landolt $W-M_e$	Code
7-8	o	o	7-8	o	o
E-F	Q	C	E-F	Q	C
2-0	o	o	2-0	o	o
8-6	o	o	8-6	o	o
F-D	o	o	F-D	o	o

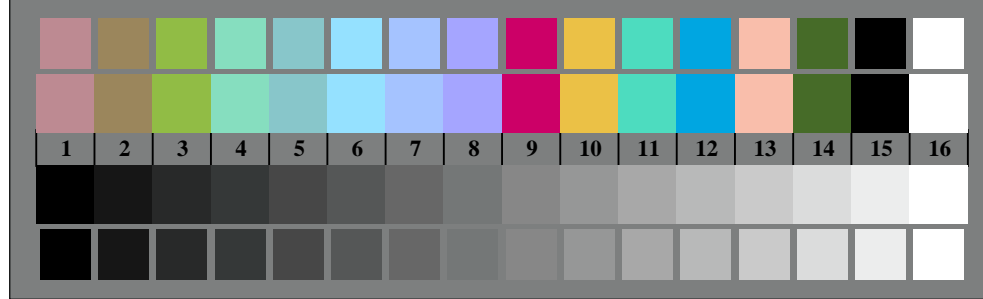
TI911-5, Fig. B6Wde: anelli di Landolt $W-C_e; W-M_e; PS$ operator $rgb \rightarrow rgb_{de} setrgbcolor$

0-1	anelli di Landolt $W-Y_e$	Code	0-1	anelli di Landolt $W-N$	Code
7-8	o	o	7-8	o	o
E-F	Q	C	E-F	Q	C
2-0	o	o	2-0	o	o
8-6	o	o	8-6	o	o
F-D	o	o	F-D	o	o

TI911-7, Fig. B7Wde: anelli di Landolt $W-Y_e; W-N; PS$ operator $rgb \rightarrow rgb_{de} setrgbcolor$



TI911-5, Fig. B2Wde: reticolli radiali $W-C_e; W-M_e; W-Y_e; W-N; PS$ operator $rgb \rightarrow rgb_{de} setrgbcolor$



TI911-7, Fig. B3Wde: 14 prova colori CIE i 2 + 16 grigio passi (sf); $rgb/cmy0 \rightarrow rgb_{de} setrgbcolor$